

on résume les résultats dans le tableau suivant :

N.B : il faut commencer par  $P_A^\alpha$  ou  $P_B^\beta$  puis faire le calcul jusqu'à  $P_A^\alpha + P_B^\beta = 1$  pour déterminer les autres  $P_A^\beta$  et  $P_B^\alpha$

$P^\alpha$	$P_A^\alpha$	$P_A^\beta$	$P_B^\beta$	$P_B^\alpha$
0	3/4	1/4	1/4	3/4
0,25	13/16	3/16	14/32	18/32
0,5	.	.	.	.
0,75	.	.	.	.
1	1	0	1	0

Problème : Comment peut-on savoir le type de solution solide (insertion ou substitution) à partir du masse volumique ?

Il faut suivre les étapes suivantes

- calculer  $\rho_{exp}$ .

- calculer  $\rho$  pour le S.S.I :  $\rho_{int} = \frac{n(M_A + \frac{\gamma_A}{\gamma_B} M_B)}{V a^3}$

- calculer  $\rho$  pour le S.S.S. :  $\rho_{(S)} = \frac{n(\gamma_A M_A + \gamma_B M_B)}{V a^3}$

- Comparer ces valeurs théoriques avec  $\rho_{exp}$ .

## II) Défauts dans les cristaux

Le cristal parfait ne se rencontre jamais dans la nature. Les cristaux réels contiennent toujours un certain nombre de défauts en quantité variable. La présence et le nombre de défauts dépendent du type de liaison chimique.

- le type de liaisons chimique.

- la pureté du cristal

- la méthode de préparation.

- des altérations thermomécaniques.

les défauts se classent généralement en :

- ① défauts ponctuels. Ex : les lacunes

- ② défauts linéaires ou dislocations.

- ③ défauts bidimensionnelles (surfique). Ex : les joints de grains.

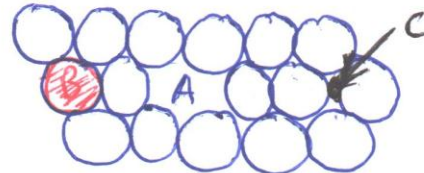
- ④ défauts volumique. Ex : les précipités, amas (clusters) et forêts de dislocations.

II-1) Défauts Ponctuels : C'est une perturbation ~~l'ordre~~ le cristal de l'ordre interatomique. Il existe 3 types de défauts ponctuels : - les lacunes - les interstitiels - les atomes en substitutions.

A : locme (vibe)

B : Atome en substitution

C : Atome en Insertion  
(Intersticiel).



## II-1-1) L'enthalpie de formation et de migration

a/ Formation: la création d'un défaut ponctuel provoque un augmentation

dans l'enthalpie libre  $\Delta G_f$  (enthalpie libre de formation)

$$\Delta G_f = \Delta H_f - T \Delta S_f$$

- l'enthalpie de formation ( $\Delta H_f$ ) est calculée comme suivant:

$$\bar{\Delta}H_f = \Delta E_f + P \Delta V_f \quad / \quad \Delta V_f = \sigma + \Delta V_r$$

où:

$\Delta E_f$  : c'est l'énergie de formation d'un locme.

P : pression de mesure (Interne).

$\Delta V_f$  : le volume de formation

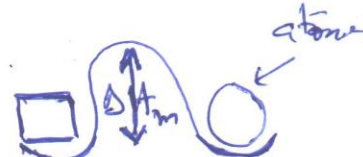
$\Delta V_r$  : le volume de relaxation

$\sigma$  : " " " l'atome détacher.

b/ Migration: pour déplacer une locme d'un site à un site voisin, il est nécessaire une barrière énergétique  $\Delta H_m$ .

- l'enthalpie libre peut-être déterminé par la relation:

$$\Delta G_m = \Delta H_m - T \Delta S_m$$



## II-1-2) Concentration des défauts ponctuels (locme).

La concentration d'équilibre des locmes est en relations avec la Température.

comme suivant:  $[C_p = \frac{n_p}{N} = \exp(-\Delta G_f / k_B T)]$

où:  $n_p$  : nombre des locmes

N : le nombre total d'atome.

$\Delta G_f$  : l'enthalpie libre de formation

$k_B$  : Constante de Boltzmann.

T : Température de mesure.

\* N.B.: la Démonstration de cette formule sera effectuer dans le TD.

### II-1-3) Etude expérimentale des défauts ponctuels à l'équilibre

Il existe plusieurs méthodes qui sont :

\* Mesure simultanée de la longueur et du paramètre du réseau

Elle permet de donner une mesure absolue de la concentration en défauts (locus et interstitice) dans le ~~structure~~ cristal. comme suivant :

$$C_p - C_i = 3 \left( \frac{\Delta l}{l} - \frac{\Delta a}{a} \right)$$

$$\text{on a: } C_p \gg C_i \Rightarrow \boxed{C_p = 3 \frac{\Delta l}{l} - \frac{\Delta a}{a}}$$

\* Mesure de la copicité colorifique ( $\Delta C_p$ )

$$\boxed{\Delta C_p = N C_p \cdot \frac{\Delta H_f^2}{k_B T^2}} = N \exp\left(-\frac{\Delta G_f}{k_B T}\right) \cdot \exp\left(\frac{\Delta H_f^2}{k_B T^2}\right).$$

\* Mesure de la résistivité à basse température ( $\rho_{BS}$ )

$$\text{Loi de MATTIESSE} \rightarrow \boxed{\rho_{BS} = \frac{m \nu e A}{n \cdot e^2}}$$

Où : A = Section efficace de diffusion.

m = masse de l'électron.

n = nombre d'électrons par atome

e = la charge de l'électron.

$\nu$  : vitesse de Fermi des électrons.

C : Concentration des défauts.

Cette loi s'applique lorsque les concentrations ne sont pas trop élevées.

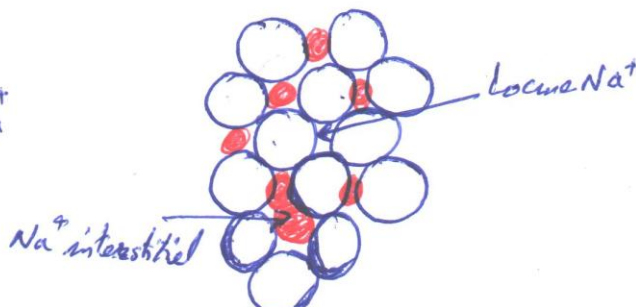
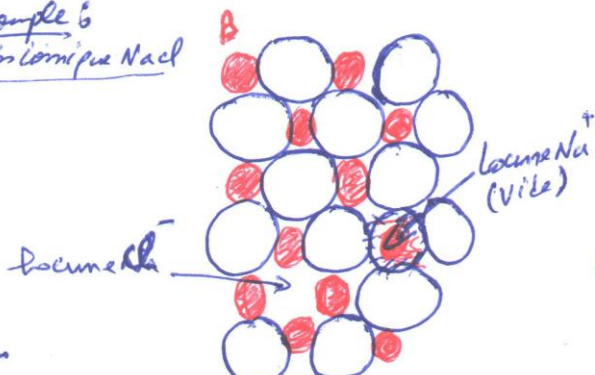
\* Notions de Frenkel et Schottky dans les composés ioniques :

- deux locunes de charges opposées  $\Leftrightarrow$  défaut Schottky.

- locus + atome interstitiel  $\Leftrightarrow$  défaut Frenkel

Exemple 6

solution ionique NaCl



Où :

$\bullet \text{Na}^+$

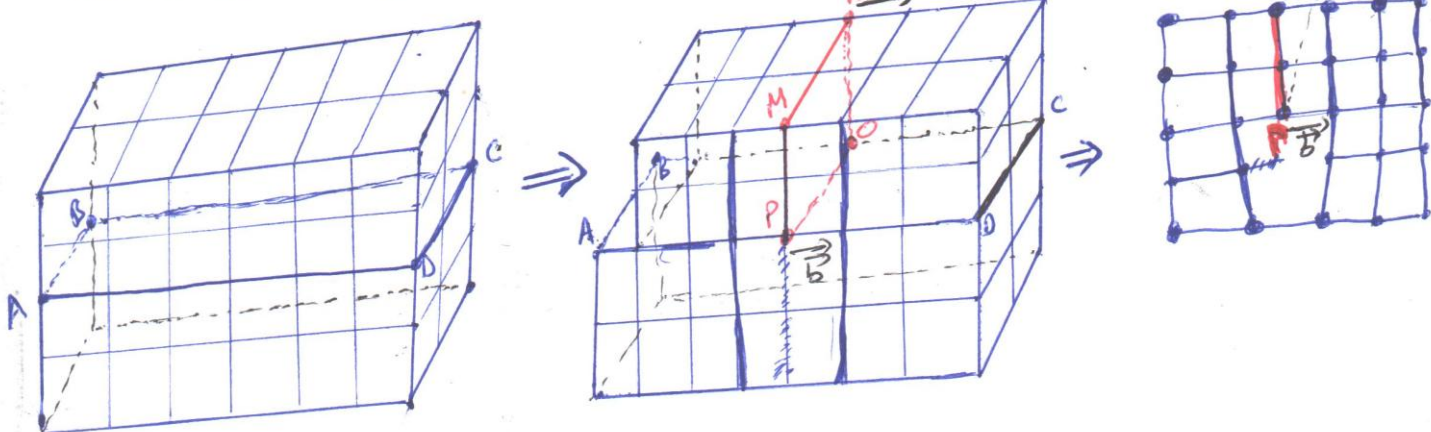
## II-2) Défauts linéaires (Dislocations) :

- La dislocation est une perturbation dans le cristal autour d'une ligne (rangée réticulaire). Les dislocations sont obtenues par le glissement  $\vec{b}$  d'une partie du cristal le long d'un plan  $\vec{L}$ .
- La dislocation se caractérise par une ligne de dislocation et un vecteur de Burgers  $\vec{b}$  (vecteur de glissement), à pour cela on distingue trois types de dislocations :
  - \* Dislocation coin :  $(\vec{b} \perp \vec{L})$
  - \* Dislocation vis :  $(\vec{b} \parallel \vec{L})$
  - \* Dislocation mixte :  $(\perp \text{ et } \parallel)$ .

## II-2) Les différents types de dislocations et leurs formations :

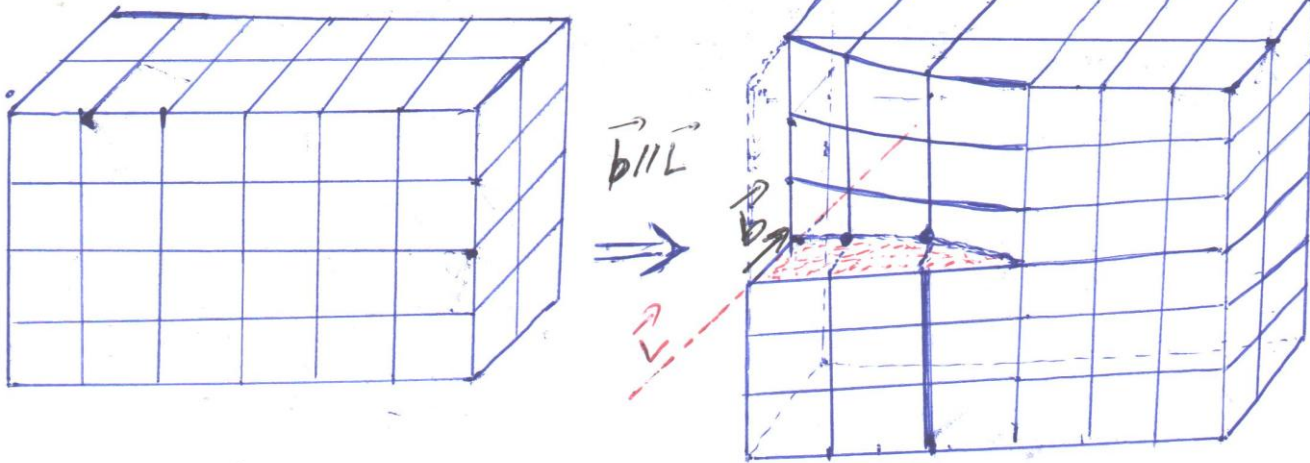
\* Dislocation coin : pour laquelle le vecteur  $\vec{b}$  est perpendiculaire à la ligne de dislocation  $\vec{L}$ , c.-à-d le déplacement des atomes se fait perpendiculairement à la ligne  $\vec{L}$ .  $(\vec{b} \perp \vec{L})$

Concernant son formation, on prend un plan ABCD d'un cristal à réseau cubique idéal, après on fait un déplacement de la partie supérieure d'une distance interatomique. Après le déplacement on voit l'ajout d'un demi plan atomique (MNPO). On observe que la ligne (PO) (ligne de dislocation) est perpendiculaire au vecteur de burgers  $\vec{b}$ .



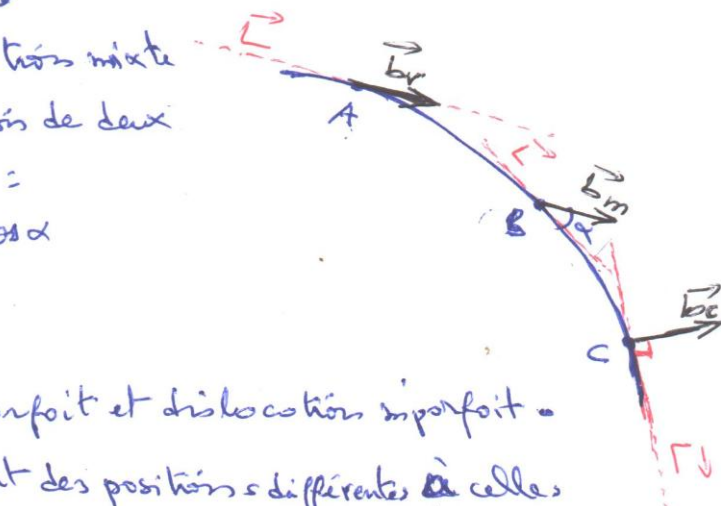
\* Dislocation vis : pour laquelle le vecteur de Burgers  $\vec{b}$  est parallèle à la ligne de dislocation  $\vec{L}$ , c.-à-d le déplacement des atomes se fait parallèlement à la ligne  $\vec{L}$ .  $(\vec{b} \parallel \vec{L})$ .

Concernant la formation de ce type de dislocation, il résulte d'un cisaillement de deux portions d'un cristal l'une par rapport à l'autre, effectué le long d'un plan cristallographique.



\* Dislocation mixte : Lorsque la ligne de dislocation  $\Gamma$  est rectiligne. Cette ligne sépare les parties d'un cristal restées immobiles et celles qui ont subi le déplacement (glissement par  $\vec{b}$ ).

- D'après le schéma, la dislocation mixte par définition c'est la superposition de deux dislocations, coin et vis, tel que :

$$\vec{b}_m = \vec{b}_c + \vec{b}_v \text{ où } b_c = b \sin \alpha, b_v = b \cos \alpha$$


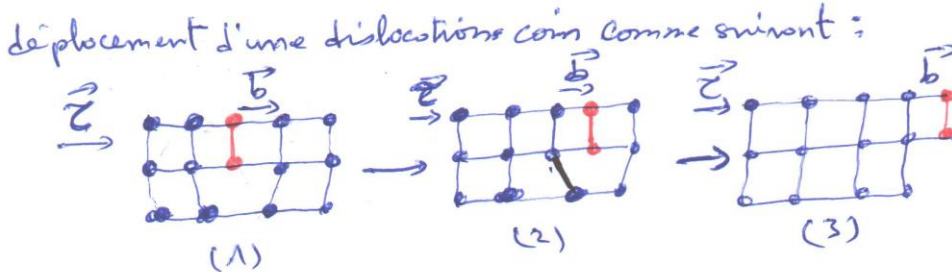
\* Il y a la notion de dislocation parfait et dislocation impropre. Dans ce dernier les atomes occupent des positions différentes à celles occupées initialement (la structure cristalline perd sa périodicité) et le vecteur  $\vec{b}$  n'est plus un vecteur de translation.

par contre la dislocation parfait les atomes occupent des positions équivalentes à celles précédentes (la structure conserve sa périodicité), et le vecteur  $\vec{b}$  fait la translation.

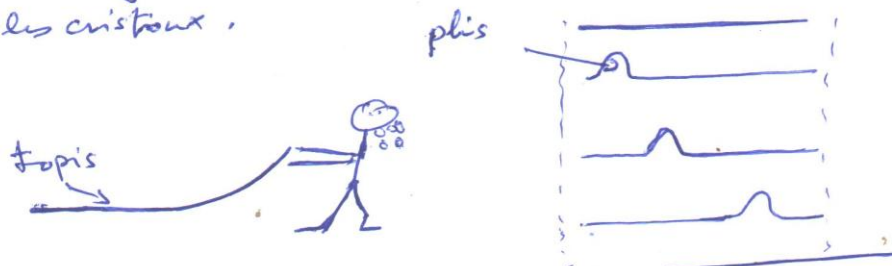
Rémarque : la dislocation parfait peut être décomposée en deux dislocations impropre :  $\vec{b}_p = \vec{b}_{imp_1} + \vec{b}_{imp_2}$  condition énergie  $\Rightarrow \|\vec{b}_p\|^2 \leq \|\vec{b}_{imp_1}\|^2 + \|\vec{b}_{imp_2}\|^2$ . Energie moins

## II-2-2) Mouvement de dislocations

- Le processus de déplacement des dislocations dans leurs plans de glissement constitue la base du mécanisme de la déformation plastique dans les matériaux métalliques.
- La figure ci-dessous nous montre le mouvement des atomes impliqués dans le déplacement d'une dislocation coin comme suivant :



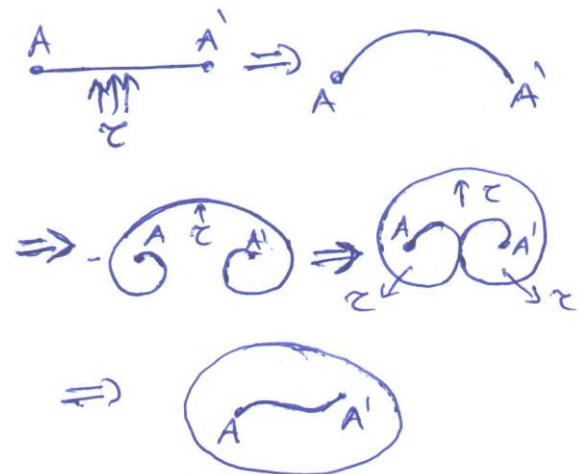
- On peut utiliser l'image d'un lourd topois que l'on voudrait déplacer sur le sol.
- Deux méthodes pour faire ce déplacement :
  - par un glissement suivant un compact.
  - ou une image de la propagation des dislocations dans les cristaux.



## \* Multiplication de dislocation (mécanisme Frank-Reed)

Supposons une dislocation fixée dans le plan de glissement aux points A et A'.

Sous l'action de contrainte  $\epsilon$ , la dislocation s'incurve et former deux spérosles. Les deux spérosles se touchent et forment une boule fermée et un nouveau secteur de dislocation.

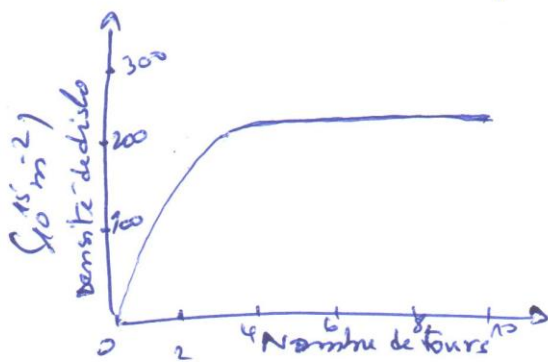


Source Frank-Reed.

## II-2) Densité de dislocations : $(\text{cm}^{-2}) (\beta_p)$

C'est la longueur totale de dislocations par unité de volume ( $\text{cm}/\text{cm}^3$ ) =  $\text{cm}^{-2}$ .

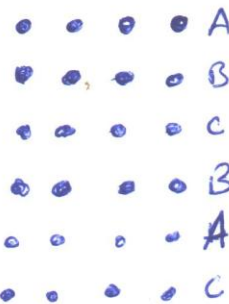
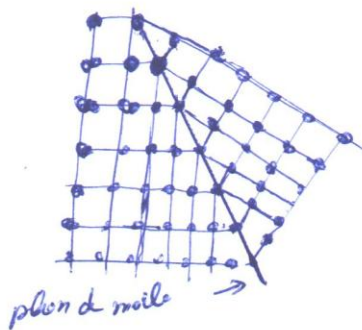
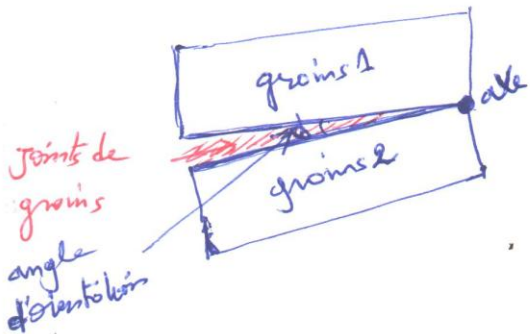
- Exemple : la variation de densité de dislocation est l'application de l'alliage Cu-2.5Ni-<sub>Si</sub> (% en poids) en fonction de nombre de tours de HPT est représentée comme suit :



## II-3) Défauts bidimensionnels (Surficiels) :

Un défaut bidimensionnel (planaire en surface) est une perturbation dans le cristal de l'ordre d'un plan d'octaèdre. Il existe plusieurs variétés de ce type de défauts :

- joints de grains
- les macles.
- les fentes d'empilement.



normalement ABC, ABC, ...  
mais on observe ABC, BAC  
défaut démpilement

## II-4) Défaut volumiques :

Les défauts volumiques les plus courants sont les précipités et les clusters (amas).

